

02;12

©1994 г.

## ВЗАИМОДЕЙСТВИЕ ДВУХЗАРЯДНЫХ ИОНОВ ГЕЛИЯ С АТОМАМИ Ne, Ar, Kr, Xe ПРИ кэВ ЭНЕРГИЯХ

*B.B.Афросимов, A.A.Басалаев, M.H.Панов*

Физико-технический институт им. А.Ф.Иоффе РАН,

194021, Санкт-Петербург, Россия

(Поступило в Редакцию 8 февраля 1994 г.)

Методом совпадений с одновременным анализом зарядовых состояний обеих частиц, участвующих в одном и том же акте столкновений, выделены процессы захвата, захвата с ионизацией и двойного захвата электронов при взаимодействии ионов  $\text{He}^{2+}$  с атомами инертных газов. На основе спектров потерь кинетических энергий частиц делается вывод о механизме процесса захвата и захвата с ионизацией. Измерены абсолютные величины сечений двойного захвата и двойного захвата с ионизацией для пары  $\text{He}^{2+} + \text{Xe}$  при энергии столкновений 1-100 кэВ.

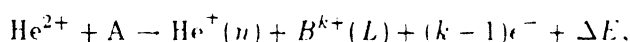
### Введение

При столкновении ионов  $\text{He}^{2+}$  с атомами инертных газов в области кинетических энергий 1-100 кэВ вероятности процессов изменения зарядовых состояний частиц и заселение их электронных состояний определяются взаимодействием термов квазимолекулы  $(\text{HeA})^{2+}$  (где A — атомы He, Ar, Kr, Xe), образующейся при сближении частиц. Ввиду того что энергия связи электрона в оболочках  $ns^2pr^6$  атома-мишени уменьшается при переходе от иона к ксенону, картины термов, между которыми происходят электронные переходы, при одних и тех же межъядерных расстояниях сильно разнятся. В результате вероятности осуществления элементарных процессов изменения зарядовых и электронных состояний частиц для разных атомов-мишней оказываются существенно различными.

Задачей работы является проведение анализа процессов изменения зарядовых и электронных состояний частиц на основе термов квазимолекулы и полученных в работе экспериментальных данных о спектрах кинетической энергии ионов, образующихся в процессе захвата, и данных о зависимости сечений процессов захвата двух электронов и захвата двух электронов с ионизацией от энергии столкновений.

# Экспериментальная установка и методика измерений

Для раздельного исследования ионов, образующихся в процессах одноэлектронного захвата и захвата с ионизацией, был использован метод анализа по заряду как быстрых ионов, испытавших столкновение, так и медленных ионов, возникающих из атомов-мишней.



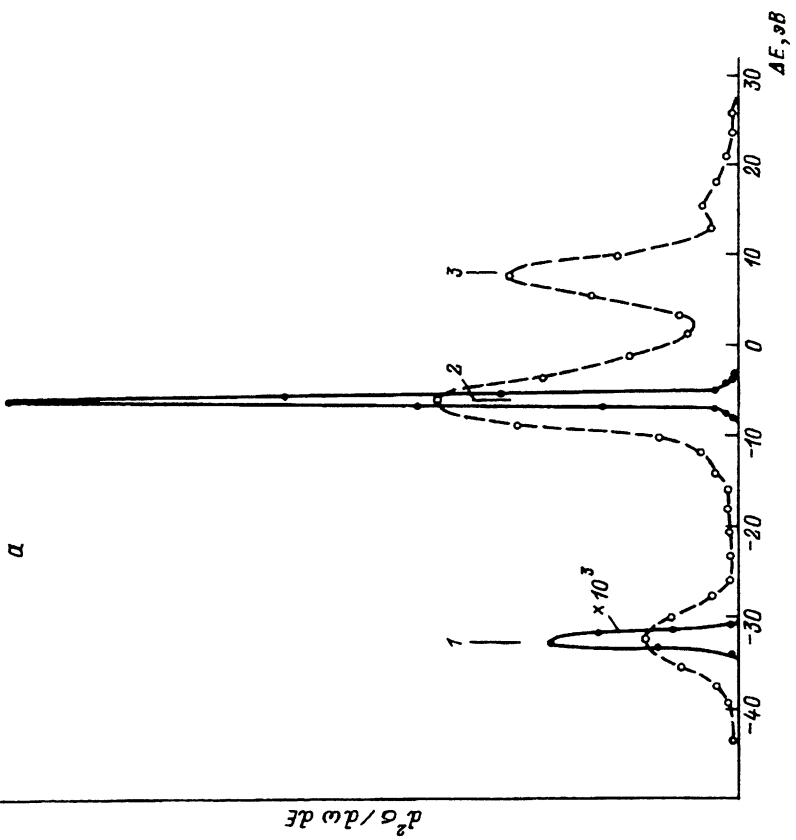
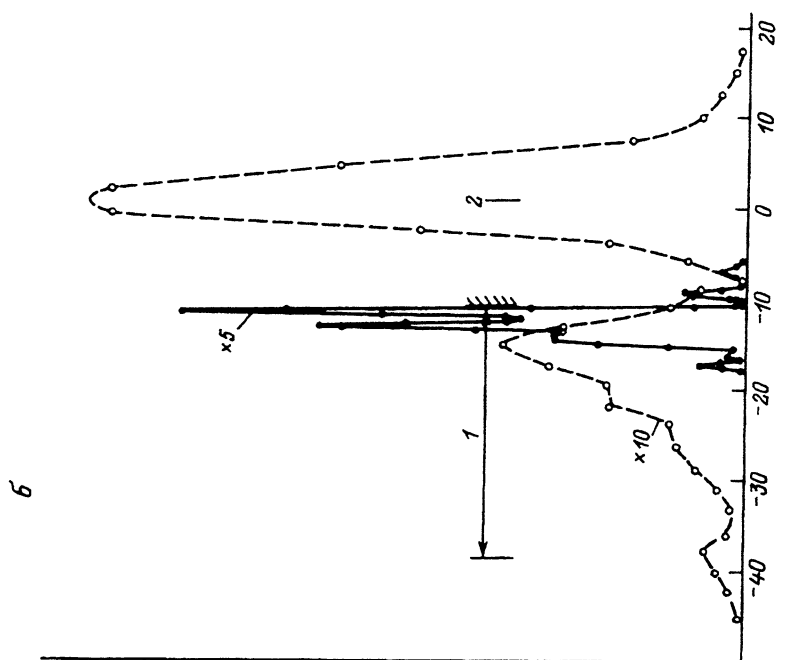
где  $\text{He}^+(n)$  — ион, захвативший электрон в состояние с главным квантовым числом  $n$ ;  $B^{k+}(L)$  — медленный ион, образовавшийся в процессе захвата электрона ( $k = 1$ ) или захвата с ионизацией ( $k = 2$ ) в электронном состоянии  $L$ ;  $\Delta E$  — изменение кинетической энергии налетающего иона.

Частицы, партнеры одного и того же акта столкновения, выделялись методом совпадений. Идентификация электронных состояний ионов проводилась по величине  $\Delta E$ , которая измерялась методом прецизионного (разрешающая способность анализатора  $R = 4000$ ) анализа кинетической энергии ионов  $\text{He}^+$  после столкновения. Возможность разделения пиков в спектре кинетической энергии ионов определяется аппаратной функцией анализатора энергии и разбросом по энергии ионов первичного пучка. В результате ширина на полувысоте аппаратной функции при энергии столкновения  $E = 2.15$  кэВ составляет 0.8 эВ, а при  $E = 30$  кэВ — 7.5 эВ. Подробно методика эксперимента описана в работах [1,2].

## Экспериментальные результаты и их обсуждение

1. **Заселение различных электронных состояний частиц, образующихся в процессе захвата одного электрона.** На рис. 1 представлены спектры изменения кинетической энергии быстрых ионов  $\text{He}^+$ , образовавшихся в процессе захвата электрона у атомов Ne, Ar, Kr, Xe. Положительные значения шкалы  $\Delta E$  отражают потери энергии быстрой частицей при эндоэнергетических процессах, а отрицательные — увеличение ее кинетической энергии, сопровождающее экзоэнергетические процессы. Вероятности соответствующих электронных переходов определялись непосредственно по интенсивности линий в экспериментальных спектрах.

Процесс захвата электрона у атомов неона в области низких энергий столкновений (рис. 1,*a*;  $E = 2.15$  кэВ) происходит с подавляющей вероятностью из  $2s^2$ -подоболочки атома-мишени. При этом ион  $\text{He}^+$  образуется в основном состоянии. Таким образом, как следует из картины термов для системы  $(\text{HeNe})^{2+}$  [3], процесс определяется переходом Ландау–Зинера в области квазипересечения термов начального и конечного состояний при расстояниях сближения  $R = 4.6$  а.е. (рис. 2). Канал процесса с захватом электрона из внешней подоболочки неона  $2p^6$  с образованием ионов  $\text{He}^+$  и  $\text{Ne}^+$  в основных состояниях, который также определяется механизмом Ландау–Зинера, при низких скоростях столкновений неэффективен, так как область квазипересечений соответствующих термов находится при малых межъядерных расстояниях и, как следствие, расщепление между термами велико, что также ведет к уменьшению сечения при данной скорости. Из измерений



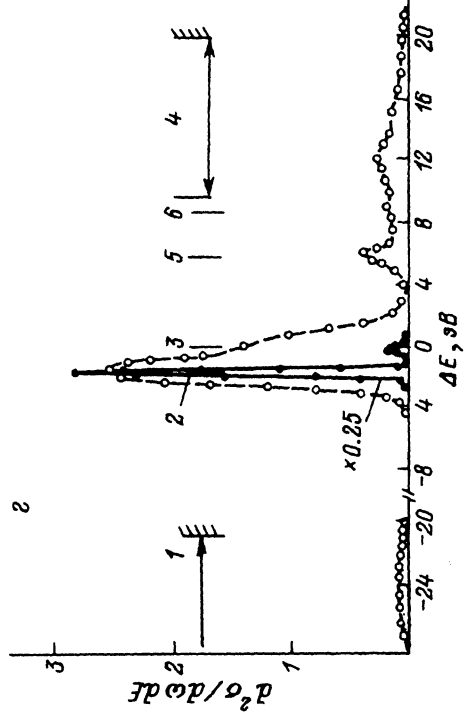


Рис. 1. Спектры потерь энергии ионами  $\text{He}^+$ , образующимися в процессе захвата одного электрона ионами  $\text{He}^{2+}$ .

Сплошные кривые —  $E = 2.15 \text{ кэВ}$ ; пунктир —  $E = 30 \text{ кэВ}$  для  $\text{Ar}, \text{Kr}; 5.4 \text{ кэВ}$  для  $\text{Xe}$ .  
 1 — пара  $\text{He}^{2+} - \text{Ne}$ : 1 —  $\text{He}^+(1s) + \text{Ne}^+(2p^5 2P)$ , 2 —  $\text{He}^+(1s) + \text{Ne}^+(2s2p^6 2S)$ , 3 —  $\text{He}^+(n=2) + \text{Ne}^+(2s^2 2p^5 2P)$ ;  
 6 — пара  $\text{He}^{2+} - \text{Ar}$ : 1 —  $\text{He}^+(1s) + \text{Ar}^{+*}$ , 2 —  $\text{He}^+(n=2) + \text{Ar}^+(3s^2 3p^5 2P)$ ;  
 8 — пара  $\text{He}^{2+} - \text{Kr}$ : 1 —  $\text{He}^+(1s) + \text{Kr}^{+*}$ , 2 —  $\text{He}^+(n=2) + \text{Kr}^+(4s^2 4p^5 2P)$ , 3 —  $\text{He}^+(n=3) + \text{Kr}(4s^2 4p^5 2P)$ ;  
 2 — пара  $\text{He}^{2+} - \text{Xe}$ : 1 —  $\text{He}^+(1s) + \text{Xe}^{+*}$ , 2 —  $\text{He}^+(n=2) + \text{Xe}^+(P_{3/2})$ , 3 —  $\text{He}^+(n=2) + \text{Xe}^+(P_{1/2})$ , 4 —  $\text{He}^+(n=2) + \text{Xe}^{+*}$ , 5 —  $\text{He}^+(n=3)$ , 6 —  $\text{He}^+(n=4)$ . Шкала ординат линейная.

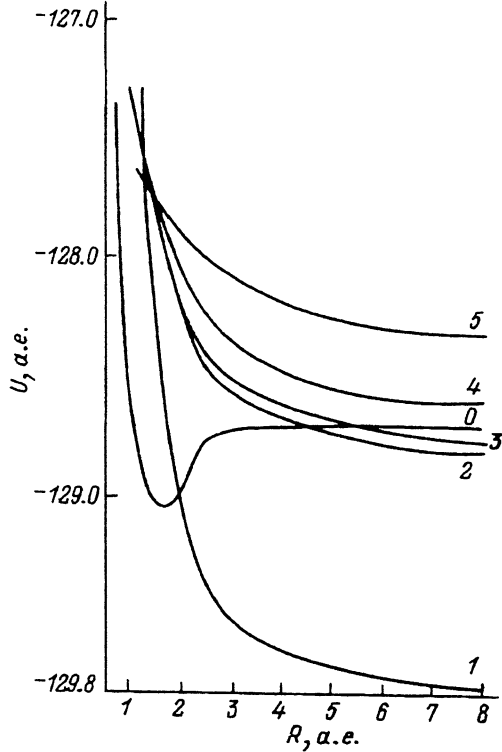


Рис. 2. Диабатические термы квазимолекулы  $(\text{HeNe})^{2+}$ .

- 0 — начальный терм  $[\text{He}^{2+} - \text{Ne}(^1S)]$ ;
- 1 — терм  $[\text{He}^+(1s) - \text{Ne}^+(2p^5 \ ^2P)]$ ;
- 2 — терм  $[\text{He}^+(1s) - \text{Ne}^+(2s2p^6 \ ^2S)]$ ;
- 3, 4 — термы  $[\text{He}^+(1s) - \text{Ne}^{++}]$ ;
- 5 — термы  $[\text{He}^+(2l) - \text{Ne}^+(2p^5 \ ^2P)]$ .

спектров кинетических энергий ионов  $\text{He}^+$  при энергии столкновений 30 кэВ следует, что вероятность канала процесса с образованием обоих ионов в основном состоянии быстро растет с увеличением скорости столкновения. Особенностью термов системы  $(\text{HeNe})^{2+}$  является то, что энергия первого возбужденного состояния  $\text{Ne}^{+*}(2s2p^6 \ ^2S)$  достаточно велика и составляет 27.2 эВ [4], в результате чего в области межъядерных расстояний  $R = 2-4.6$  а.е. отсутствуют какие-либо квазипересечения. Эндоэнергетический канал процесса, в котором захват происходит из внешней подоболочки неона, а быстрый ион  $\text{He}^+$  образуется в возбужденном состоянии, эффективно начинает осуществляться с ростом скорости столкновений.

Энергия связи электронов внешней подоболочки у атома аргона существенно меньше, чем у атома неона. Кроме того, энергия возбуждения электрона внешней оболочки  $3s^23p^5$  иона аргона значительно меньше, чем внешней оболочки  $2s^22p^5$  иона неона. Это приводит к тому, что для системы  $(\text{HeAr})^{2+}$  в диапазоне межъядерных расстояний 2–5 а.е. имеется множество квазипересечений начального терма  $[\text{He}^{2+} + \text{Ar}]$  с полосой термов типа  $[\text{He}^+(1s) + \text{Ar}^{++}]$ . Как видно из рис. 1, б, при низких энергиях столкновений именно взаимодействие этих термов и определяет вероятность процесса, таким образом, захват одного электрона сопровождается возбуждением образующегося медленного иона и является двухэлектронным процессом. Подобные каналы процесса захвата для пары  $\text{He}^{2+} + \text{Ne}$  не наблюдались во всем исследованном диапазоне скоростей.

С ростом энергии столкновения относительная вероятность экзотермических каналов процесса быстро уменьшается и, как видно из рис. 1, б, эффективно начинают заселяться состояния иона  $\text{Ar}^+$  с меньшей энергией возбуждения, термы которых пересекаются входным термом квазимолекулы при меньших межъядерных расстояниях.

Так же как и при взаимодействии с атомом неона, с ростом скорости столкновения быстро растет вероятность эндоэнергетических каналов процесса, в которых ион  $\text{He}^+$  образуется в возбужденном состоянии. Заселение этих состояний, может быть, обусловлено связью Демкова [5]. Этот механизм процесса является преобладающим при столкновениях ионов  $\text{He}^{2+}$  с атомами Кр и Хе во всем исследованном диапазоне скоростей (рис. 1, в и г). Причина заключается в том, что разница в энергиях начального и конечного состояний в пределе разъединенных атомов для пары  $\text{He}^{2+} + \text{Kr}$  составляет 0.4 эВ, а для пары  $\text{He}^{2+} + \text{Xe} = -1.47$  эВ и кривые соответствующих термов можно считать параллельными. Роль двухэлектронных каналов процессов с возбуждением электронов атома-мишени для этих систем относительно невелика.

**2. Процессы двойного захвата и захвата с ионизацией.** Спектры кинетических энергий ионов  $\text{He}^+$ , образовавшихся в процессе захвата с ионизацией при взаимодействии с атомами Хе, представлены на рис. 3, а, б. Образование свободного электрона в процессе захвата с ионизацией при скоростях сближения частиц, меньших боровских скоростей внешних электронов в атоме-мишени, возможно в результате распада автоионизационных состояний либо квазимолекулярной системы при меняющемся межъядерном расстоянии, либо при распаде автоионизационных атомных или ионных состояний частиц-продуктов процесса, время жизни которых больше времени столкновения. В первом случае спектр кинетической энергии ионов  $\text{He}^+$  не должен содержать четких линий. Это связано с тем, что изменение энергии  $\Delta E$  быстрых ионов  $\text{He}^+$  соответствует разнице потенциальной энергии электронов в начальном и конечном состояниях сталкивающихся частиц, включая образовавшийся свободный электрон. Величина кинетической энергии электрона определяется энергией автоионизационного состояния квазимолекулы и зависит от межъядерного расстояния, при котором произошло образование свободного электрона. В случае образования после столкновения быстрого атома гелия  $\text{He}^{0**}$  и распада его автоионизационного состояния соответствующий пик в спектре кинетической энергии быстрой частицы также уширяется, но за счет импульса, переданного иону  $\text{He}^+$  изотропно вылетевшими электронами (энергия электронов 35.5 эВ [6] и при энергии столкновения 30 кэВ это уширение составляет  $\pm 26$  эВ). Дискретный спектр потерь энергии быстрой частицы возникает лишь при образовании медленного иона  $\text{Xe}^+$  в автоионизационном состоянии и его распаде после разлета частиц.

Как показывают экспериментальные данные (рис. 3, а), при низких энергиях столкновения реализуются только экзотермические каналы процесса захвата с ионизацией. Это означает, что процесс идет за счет взаимодействия с электронами внешней  $5s^2 5p^6$ -оболочки Хе, ион  $\text{He}^+$  образуется в основном состоянии, а свободные электроны — в результате либо распада автоионизационных состояний квазимолекулы, либо ионов  $\text{Xe}^{0**}$ . На осуществление этого канала указывает то, что потере кинетической энергии ионами  $\text{He}^+$  от -16 до -6.5 эВ не соответствуют никакие дискретные состояния ионов  $\text{Xe}^{2+}$  и наблюдаемые

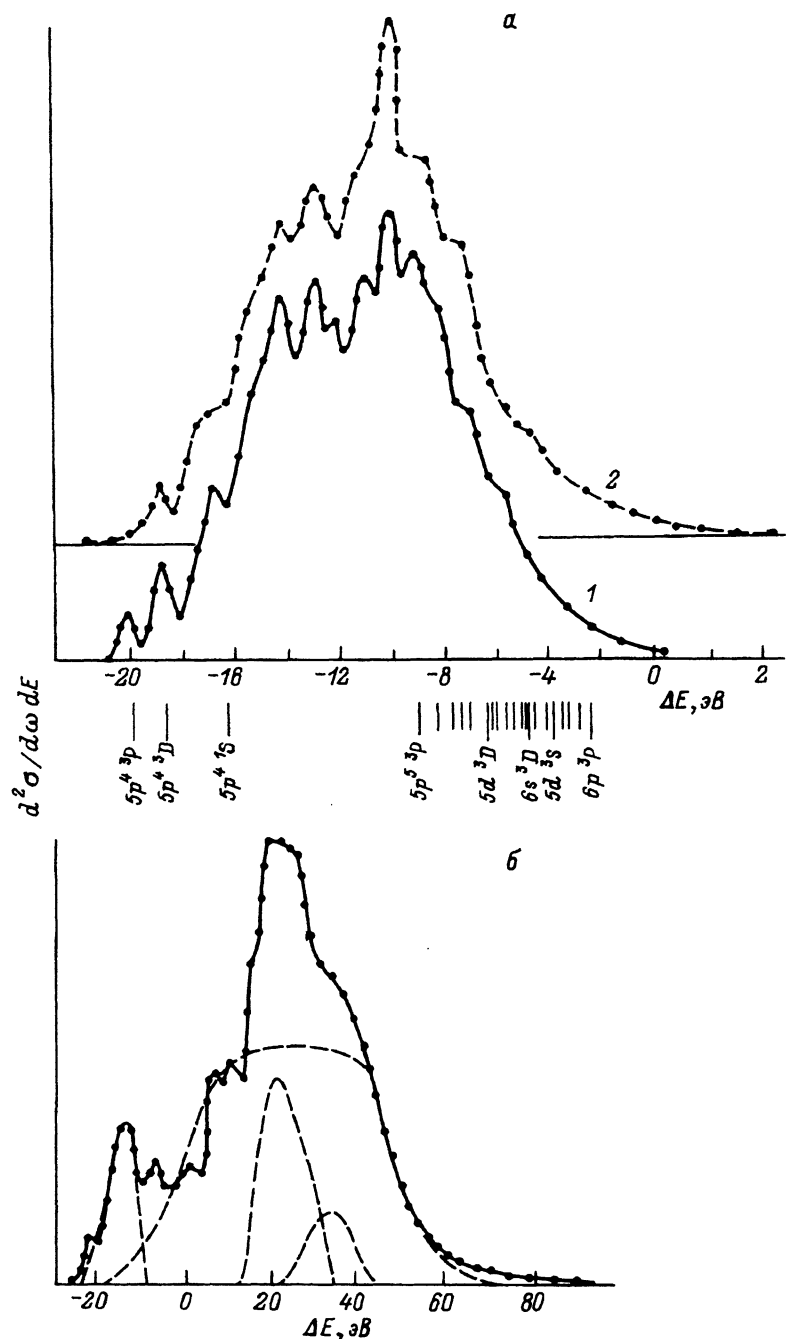


Рис. 3. Спектры потерь энергии ионами  $\text{He}^+$ , образующимися в процессе захвата с ионизацией при взаимодействии ионов  $\text{He}^{2+}$  с атомами ксенона.  
 а — энергия столкновения  $E = 1.25$  (1),  $2.15$  кэВ (2); под шкалой абсцисс приведены потери энергии, соответствующие образованию иона  $\text{He}^+(1s)$ , ионов  $\text{Xe}^{2+}$  в указанных электронных состояниях и свободных электронов с нулевой энергией; б —  $E = 30$  кэВ.

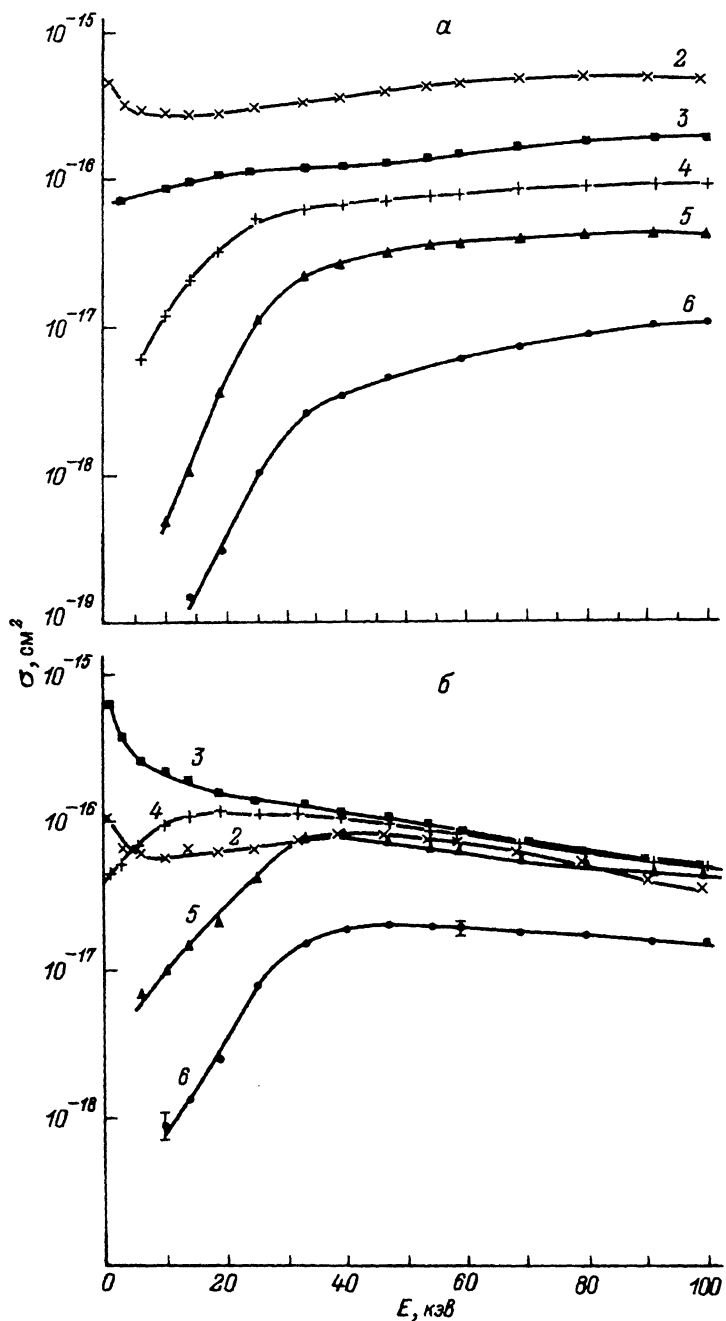
экспериментально потери энергии в этой области спектра могут быть объяснены образованием свободных электронов с различными кинетическими энергиями.

Наиболее вероятным механизмом осуществления такого канала процесса, согласно работе [7], является переход электрона на свободную  $4f\sigma$ -орбиталь с последующим распадом автоионизационного состояния квазимолекулярной системы. Вероятность такого канала реакции зависит от вероятности захвата электрона и распада квазимолекулы. Последняя растет с увеличением времени существования квазимолекулы при уменьшении скорости столкновения. Рост сечения процесса захвата с ионизацией с уменьшением энергии столкновения (кривая 3 на рис. 4,а) подтверждает такую модель рассматриваемого процесса.

Возможен и другой механизм процесса, объясняющий полученный спектр изменения энергии быстрой частицы, — захват электрона из подоболочки  $5s^2$  на основной уровень иона  $\text{He}^+$  с одновременным возбуждением электрона из внешней  $5p^6$ -подоболочки. В этом случае после разлета частиц должны образоваться ионы  $\text{Xe}^+(5s5p^5nl)$  в автоионизационном состоянии. При осуществлении этого канала процесса на заселение множества возможных состояний  $\text{Xe}^+(5s5p^5nl)$  накладываются определенные ограничения вследствие того, что при медленных атомных столкновениях суммарный спин электронов должен сохраняться. Следовательно, возможно образование только дублетных состояний и число разрешенных конечных состояний относительно невелико. В результате в спектре потерь энергии в эксперименте наблюдается структура, достаточно хорошо воспроизводящаяся при обеих исследованных энергиях. В то же время для реализации этого канала процесса с  $\Delta E = 10 - 16 \text{ эВ}$  требуется сближение частиц на расстояние не более 2.7 а.е., что не согласуется с величиной полного сечения, составляющей при этой энергии столкновения  $4.8 \cdot 10^{-16} \text{ см}^2$  (рис. 4,б). Поэтому следует предположить, что в области малых энергий осуществляются оба вышеуказанных канала процесса.

При увеличении кинетической энергии налетающего иона (рис. 3,б) эффективными становятся эндоэнергетические каналы процесса захвата с ионизацией. Одним из этих каналов является образование быстрого атома  $\text{He}^{**}$  в автоионизационном состоянии и его оже-распад после столкновения, приводящий к образованию иона  $\text{He}^+$ . Спектр кинетических энергий возникающих при этом ионов, рассчитанный в предположении изотропного испускания электронов, показан на рис. 3,б. Величина этого пика соответствует сечению данного канала процесса захвата с ионизацией  $1.8 \cdot 10^{-16} \text{ см}^2$ , что практически совпадает с величиной сечения образования свободных электронов в этом канале  $1.5 \cdot 10^{-16} \text{ см}^2$ , измеренной в работе [8].

После вычитания из спектра (рис. 3,б) пика, соответствующего распаду автоионизационного состояния  $\text{He}^{0**}$ , можно выделить три пика, близких по форме к аппаратной функции прибора и отвечающих потерям энергии 16, 25 и 33 эВ. Эти пики можно связать с образованием иона  $\text{He}^+$  в состояниях с главными квантовыми числами  $n = 1, 2, 3$  двухзарядного иона ксенона в основном состоянии и электрона с кинетической энергией примерно 5 эВ и сечениями  $4.4 \cdot 10^{-17}$ ,  $5.5 \cdot 10^{-17}$ ,  $2.1 \cdot 10^{-17} \text{ см}^2$  соответственно. О осуществление данных каналов процес-



**Рис. 4.** Сечения процессов захвата с ионизацией и двойного захвата при столкновении  $\text{He}^{2+} + \text{Xe} \rightarrow \text{He}^{(2-m)+} + \text{Xe}^k+ + (k-m)e^-$ .  
 а — захват с ионизацией  $m = 1$ ,  $k = 2-6$ ; б — двойной захват  $m = 2$ ,  $k = 2-6$ . Цифры у кривых — зарядовые состояния ионов  $\text{Xe}^k+$ .

са, по нашему мнению, может быть связано с захватом электрона из  $5s^2$ -подоболочки атома ксенона, образованием возбужденного иона в состояниях  $\text{Xe}^+(5s5p^56l)$  и его автоионизационным распадом. Таким образом, осуществляется канал процесса захвата с ионизацией, который был неэффективен при малой энергии.

В области низких энергий преобладает процесс образования ионов ксенона в результате оже-распада автоионизационного состояния квазимолекулы, ионизация идет за счет потенциальной энергии свободных уровней иона  $\text{He}^{2+}$ . В результате эффективно образуются ионы низкой зарядности. Сечение их образования убывает с ростом энергии столкновения (рис. 4) вследствие уменьшения времени жизни квазимолекулы.

При более высоких энергиях столкновения, по-видимому, осуществляется процесс захвата из внутренних оболочек атома-мишени — из подоболочки  $4d$  или  $4p$  (энергия связи 68 и 150 эВ соответственно) [9]. Распад автоионизационного состояния иона ксенона с глубокой внутренней вакансией приводит к эффективному образованию ионов более высокой зарядности. На такой механизм процесса указывает практически неизменное соотношение величин сечений образования медленных ионов  $\text{Xe}^{3+}$ — $\text{Xe}^{6+}$  при увеличении энергии столкновений частиц от 30 до 100 кэВ.

## Заключение

Непосредственное выделение элементарных процессов методом со-впадений и одновременное измерение спектров кинетической энергии ионов, образующихся в результате этих процессов, позволяют установить конкретные переходы между термами квазимолекулярной системы, квазипересечения которых наиболее существенно влияют на происходящие при столкновении процессы изменения электронных и зарядовых состояний частиц. Результаты, полученные с помощью такой методики, позволяют проанализировать каналы осуществления сложного многоэлектронного процесса захвата с ионизацией и дают возможность выяснить роль различных подоболочек атомов мишени.

Работа поддержана Российским фондом фундаментальных исследований, проект № 93-02-16915.

## Список литературы

- [1] Афросимов В.В., Басалаев А.А., Лейко Г.А., Панов М.Н. // ЖЭТФ. 1978. Т. 74. С. 1605–1615.
- [2] Афросимов В.В., Басалаев А.А., Самойлов А.В., Панов М.Н. // ЖЭТФ. 1985. Т. 91. С. 465–476.
- [3] Brault P.O. et al. // Phys. Rev. 1988. Vol. A37. P. 2318–2323.
- [4] Ch.E.Moore. Atomic Energy Levels. 1971. Vol. 1.
- [5] Демков Ю.Н. // ЖЭТФ. 1963. Т. 45. С. 195–201.
- [6] Oda N., Niglimura, Tahira S. // Phys. Rev. Lett. 1970. Vol. 24. P. 42–45.
- [7] Кишиневский Л.М., Краков Б.Г., Паршич Э.С. // Опт. и спектр. 1984. Т. 57. С. 1003–1008.
- [8] Ogurtsov G.N., Mikoushkin V.M., Flaks I.P. // XI ICPIAC. Abstracts of Papers. Kyoto, 1979. P. 650.
- [9] Физические величины. Справочник / Под ред. И.С.Григорьева, Е.З.Мейлихова. М.: Энергоиздат, 1991.